

## IV. Théorème de l'nergie cinétique

La notion de travail nous a permis de quantifier ce que une force apporte ou coûte en énergie.

Il faut maintenant utiliser cette notion pour comprendre comment le mouvement est affecté.

### A. Démonstration et énoncé du théorème.

Le point de départ est le P.F.D

$$m \frac{d\vec{v}}{dt} = \sum \vec{F}$$

Qui donne une information locale (en temps) permettant de déterminer la loi horaire.

en général  $\sum \vec{F} = \vec{F}_{\text{tor}}(\vec{r}, \vec{v}, t)$  dépend de  $\vec{r}, \vec{v}$  et  $t$

le P.F.D est une éq. diff. pour  $\vec{r}(t)$ :

$$m \frac{d^2 \vec{r}(t)}{dt^2} = \vec{F}_{\text{tor}}(\vec{r}(t), \frac{d\vec{r}(t)}{dt}, t)$$

travail élémentaire des forces:

$$d\vec{r} = \vec{r}(t+dt) - \vec{r}(t) = \vec{v} \cdot dt$$

$$\text{travail élémentaire: } dW(\vec{F}) = \sum \vec{F} \cdot d\vec{r} = \sum \vec{F} \cdot \vec{v} \cdot dt$$

on omet la dépendance en  $\vec{r}, \vec{v}$  et  $t$

$$\sum dW(\vec{F}) = \vec{F}_{\text{tor}} \cdot d\vec{r} = m \frac{d\vec{v}}{dt} \cdot \vec{v} = m \underbrace{\frac{d\vec{v}}{dt} \cdot \vec{v}}_{\frac{1}{2} \frac{d(\vec{v}^2)}{dt}} dt$$

$$\sum dW(\vec{F}) = \frac{1}{2} m \frac{d(\vec{v}^2)}{dt} dt$$

travail total de A à B

on intègre entre deux instants  $t_A$  et  $t_B$

$$\sum \int_{A \rightarrow B}^{t_B} dW(\vec{F}) = \frac{1}{2} m \int_{t_A}^{t_B} dt \frac{d(\vec{v}^2)}{dt} = \left[ \frac{1}{2} m \vec{v}^2 \right]_{t_A}^{t_B}$$

dépend de la trajectoire en général

J'introduis une notation spécifique  
d' $W$  pour distinguer  
de la différentielle  
d'une fonction.



on reconnaît l'énergie cinétique

$$E_c \stackrel{\text{def}}{=} \frac{1}{2} m \vec{v}^2$$

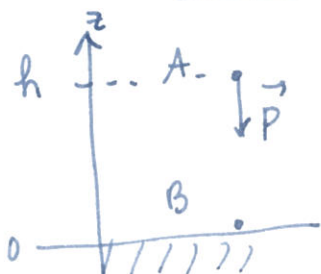
théorème de l' $E_c$ :

$$E_c(t_B) - E_c(t_A) = \sum_{\vec{F}} W_{A \rightarrow B}(\vec{F})$$

- Remarques:
- \* cela contient la même information que le P.F.D.
  - \* contrairement au P.F.D., cela nous donne une information globale: sans nous intéresser aux détails de la loi horaire (en fait cachés dans le calcul de  $W_{A \rightarrow B}(\vec{F})$ ), le théorème relie directement  $E_c(\text{finale})$  à  $E_c(\text{initiale})$ .
  - \* si on considère un système complexe (pas un point matériel mais un ensemble de points ou un solide) on obtient une information globale sur l'ensemble du système (sur  $E_c$  totale).

### B. Exemples.

#### 1. Chute libre:



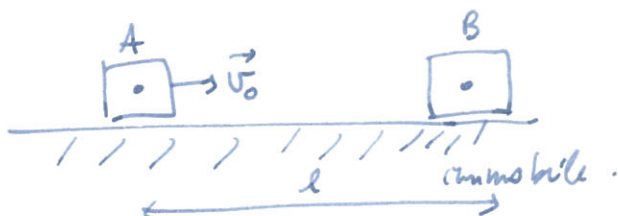
on a calculé  $W_{A \rightarrow B}(\vec{P}) = +m.g.h$

Sans déterminer la loi horaire, on obtient directement que (si  $v_z(t_A) = 0$ )

$$\frac{1}{2} m v_z^2(t_B) - 0 = +m.g.h$$

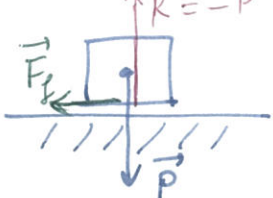
$$v_z(t_B) = \sqrt{2g h}$$

## 2. Mobile sur une table



Q: Quelle est la distance parcourue?

Bilan des forces:



$$\text{avec } \|\vec{F}_f\| = k_c \|\vec{R}\| = k_c mg$$

Travail:  $W_{A \rightarrow B}(\vec{P}) = W_{A \rightarrow B}(\vec{R}) = 0$  ( $\perp$  aux déplacements)

$$W_{A \rightarrow B}(\vec{F}_f) = \vec{AB} \cdot \vec{F}_f = -k_c mg \cdot l \quad (\text{résistant})$$

en const.      inconnue

Application du théorème:

$$E_C(B) - E_C(A) = -k_c \cdot mg \cdot l$$

0       $\frac{1}{2} m v_0^2$

$$\downarrow$$

$$l = \frac{v_0^2}{k_c g}$$

(indép. de m)

A.N.  $v_0 = 1 \text{ m/s}$   
 $k_c = 0.5$   
 $\Downarrow$   
 $l = 0.2 \text{ m} = 20 \text{ cm}$

## C. Version locale en temps

### 1. Puissance d'une force.

Déf. soit  $\vec{v}$  la vitesse d'un objet au temps t subissant une force  $\vec{F}$ . La puissance développée par la force est

$$\underline{\underline{P_F = \vec{F} \cdot \vec{v}}}$$

Dimension:  $[P_F] = \frac{[\text{Energie}]}{[\text{Temps}]}$   
 $= M L^2 T^{-1}$

Relation avec le travail élémentaire:

$$\vec{v} = \frac{d\vec{r}}{dt} \Rightarrow dW(F) = \vec{F} \cdot d\vec{r} = P_F dt$$

$P_F$  mesure le travail par unité de temps.

Unité: Watt

le théorème entre deux instants très proches:

$$E_c(t_A + \Delta t) - E_c(t_A) \approx \sum_F \vec{F} \cdot \vec{\Delta r}$$

$\vec{F} \propto \text{côte sur } \vec{\Delta r} \rightarrow$



$$\frac{E_c(t_A + \Delta t) - E_c(t_A)}{\Delta t} \approx \sum_F \vec{F} \cdot \frac{\Delta \vec{r}}{\Delta t}$$

↓  $\Delta t \rightarrow 0$

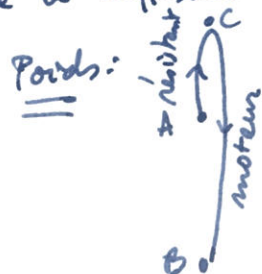
$$\boxed{\frac{d}{dt} E_c = \sum_F P_F}$$

## II. Forces conservatives vs non conservatives - Énergie potentielle

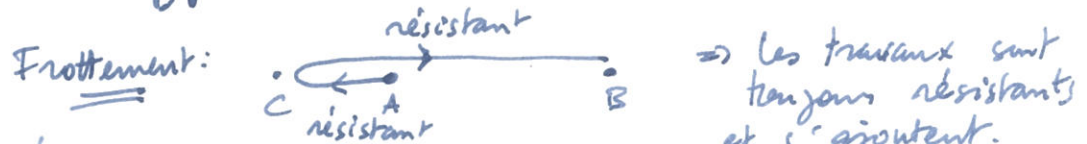
Lorsqu'on a calculé quelques travaux, on a rencontré deux situations :

- le poids  $\Rightarrow W_{A \rightarrow B}(P) = mg(z_A - z_B)$  dépend uniquement des points de départ/arrivée
- la force de frottement  $\Rightarrow W_{A \rightarrow B}(F_f)$  dépend des détails de la trajectoire

L'origine de la différence était :



→ il y a compensation

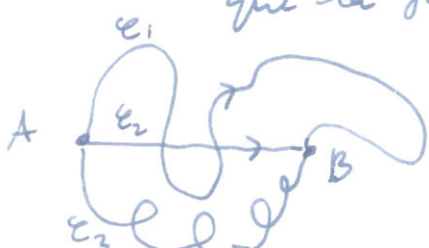


⇒ les travaux sont toujours résistants et s'ajoutent.

### A. Forces conservatives

• Définition:

Si  $W_{A \rightarrow B}(F)$  est indépendant du chemin entre A et B, on dira que la force est conservative.



## B. Énergie potentielle

Pour toute force conservative, il existe une fonction de la position,  $E_p(\vec{r})$ , telle que

$$W_{A \rightarrow B}(F) = E_p(\vec{r}_A) - E_p(\vec{r}_B)$$

$$\text{en effet } W_{A \rightarrow C \rightarrow B}(F) = W_{A \rightarrow C}(F) + W_{C \rightarrow B}(F) = E_p(A) - \cancel{E_p(C)} + \cancel{E_p(C)} - E_p(B) \\ = E_p(A) - E_p(B) \text{ ok}$$

## C. Situation unidimensionnelle

Toute force qui dépend seulement de la position est conservative dans le cas 1D.

$$\begin{array}{ccc} \text{force } F(x, v_x, t) & \longrightarrow & \text{force } F(x) \\ \underbrace{\phantom{F(x, v_x, t)}}_{\text{non conservative}} & & \underbrace{\phantom{F(x)}}_{\text{conservative}} \end{array}$$

Dém. à toute fonction  $F(x)$ , on peut associer une primitive, notée ici  $-E_p(x)$

$$\text{fonc } F(x) = -E_p'(x) \Rightarrow E_p(x) \text{ est définie à une constante additive près}$$

$$W_{A \rightarrow B}(F) = \int_A^B dx F = \int_{x_A}^{x_B} dx (-E_p'(x)) = [-E_p(x)]_{x=x_A}^{x=x_B} \\ = E_p(x_A) - E_p(x_B).$$

### Exemples:

1. Poids  $\rightarrow$  oui  
on a vu que  $W_{A \rightarrow B}(\vec{P}) = mg(z_A - z_B) \Rightarrow E_p(z) = mgz$   
énergie potentielle gravitationnelle

2. Force de rappel  $\rightarrow$  oui  
 $W_{A \rightarrow B}(F_r) = \frac{k}{2} (x_A^2 - x_B^2) \quad (x_i, x_0=0) \Rightarrow E_p(x) = \frac{1}{2} k x^2$   
énergie potentielle élastique

3. Frottement solide  $\rightarrow$  non  
 $W_{A \rightarrow B}(F_f)$  dépend du chemin  $\vec{F}_f = -k_c \|\vec{R}\| \underline{\text{sign}(v_x)} \vec{i}$   
dépendance en  $v$

4. Frottement fluide  $\rightarrow$  non  $\vec{F}_f = -\lambda \vec{v}$

## D. Cas des dimensions supérieures (hors programme)

→ sera étudié au 2<sup>nd</sup> semestre.

Remarquons seulement qu'il ne suffit pas que le force ne dépende que de la position  $\vec{r}$  pour assurer l'existence d'une fonction énergie potentielle.

$\vec{F} \rightarrow \boxed{\vec{F}(\vec{r})}$  : condition nécessaire pour que  $\vec{F}$  soit conservatif  
mais pas suffisante

$\vec{F}$  est un vecteur  $\longleftrightarrow$   $E_p$  est un scalaire  
 $\xleftarrow{\text{dérivation}}$

Il faut généraliser la notion de  
dérivation d'une fonction  $E_p(\vec{r})$

Exemple 1 :

$$F_x = -\lambda x \quad \longrightarrow \quad F_x = -\frac{\partial E_p}{\partial x} \quad E_p = +\lambda \frac{x^2}{2} + f(y)$$

$$F_y = -\lambda y \quad \longrightarrow \quad F_y = -\frac{\partial E_p}{\partial y} \quad E_p = +\lambda \frac{y^2}{2} + g(x)$$

les deux expressions sont compatibles si  $\begin{cases} f(y) = +\frac{\lambda y^2}{2} \\ g(x) = +\frac{\lambda x^2}{2} \end{cases}$

$$\text{Conclusion } E_p = \frac{\lambda}{2}(x^2 + y^2)$$

Exemple 2 :

$$F_x = \lambda y \quad \longrightarrow \quad E_p = -\lambda y x + f(y) \quad \} \text{incompatibles}$$

$$F_y = -\lambda x \quad \longrightarrow \quad E_p = +\lambda x y + g(x) \quad \} \downarrow$$

on ne peut pas écrire  $\begin{cases} F_x = -\frac{\partial E_p}{\partial x} \\ F_y = -\frac{\partial E_p}{\partial y} \end{cases}$

Condition d'existence de  $E_p$ :

$$\frac{\partial F_x}{\partial y} = \frac{\partial F_y}{\partial x}$$

Généralisation de la dérivation

$$E_p \rightarrow \begin{cases} F_x = -\frac{\partial}{\partial x} E_p \\ F_y = -\frac{\partial}{\partial y} E_p \\ F_z = \dots \end{cases}$$

$$\text{on écrira: } \vec{F} = -\vec{\nabla} E_p$$



$$\vec{\nabla} = \begin{pmatrix} \frac{\partial}{\partial x} \\ \frac{\partial}{\partial y} \\ \frac{\partial}{\partial z} \end{pmatrix}$$

## III. Énergie mécanique

### A. Systèmes conservatifs

1. Déf. On parlera de système conservatif lorsque toutes les forces en présence sont conservatives.

Notons simplement  $E_p$  l'énergie potentielle totale

$$\text{c.e. } \sum_{\vec{F}} W_{A \rightarrow B}(\vec{F}) = E_p(A) - E_p(B)$$

$$\begin{aligned} \underline{\text{Th. de l'Ee}} \Rightarrow E_e(B) - E_e(A) &= \sum_{\vec{F}} W_{A \rightarrow B}(\vec{F}) = E_p(A) - E_p(B) \\ &\downarrow \\ E_e(B) + E_p(B) &= E_e(A) + E_p(A) \end{aligned}$$

2. Déf. La combinaison  $E_e + E_p$  est appelée  
l'énergie mécanique

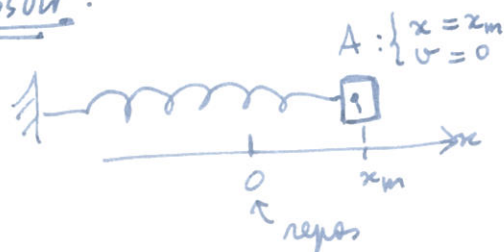
$$E_m \stackrel{\text{def}}{=} E_e + E_p$$

### 3. Conservation de l' $E_m$

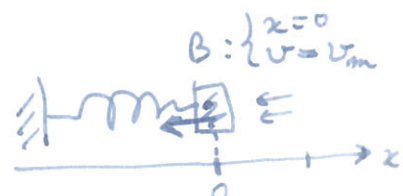
Dans un système conservatif (mettant seulement en jeu des forces conservatives) , l'énergie mécanique est conservée :  $E_m(t_B) = E_m(t_A)$

### 4. Exemples

#### a. Ressort.



$$E_m = 0 + \frac{1}{2} k x_m^2$$



$$= \frac{1}{2} m v_m^2 + 0$$

$$\rightarrow v_m = \sqrt{k/m} x_m$$

## b. Expérience de Rutherford



feuille d'or

fanion de particules  $\alpha$   
(noyaux  $\text{He}^{2+}$ )

l'énergie  $E_{\alpha}$  <sup>initial</sup> de la particule  $\alpha$  était  $E_{\alpha} \approx 7 \text{ MeV}$

Q: quelle est la distance minimale d'approche?

$$\vec{F}_{\text{electrostat}} = \frac{Q_1 Q_2}{4\pi\epsilon_0 r^2} \vec{u}_r = Z_1 Z_2 \frac{q_e^2}{4\pi\epsilon_0 r^2} \vec{u}_r$$

Plaques - lames sur un axe :  $F_{\text{elec}} = \frac{Z_1 Z_2 q_e^2}{4\pi\epsilon_0 r^2} \Rightarrow E_{\text{pot}}(r) = \frac{Z_1 Z_2 q_e^2}{4\pi\epsilon_0 r} \equiv Z_1 Z_2 \frac{e^2}{r}$

$$E_{\text{kin}} = \frac{1}{2} m v_0^2 + 0 = 0 + \underbrace{\frac{Z_1 Z_2 e^2}{r_{\text{min}}}}_{\text{en B}}$$

vitesse initiale correspondant à  $E_{\alpha} \approx 7 \text{ MeV}$

on donne

$$r_{\text{min}} = \frac{2 Z_1 Z_2 e^2}{m v_0^2} = \frac{Z_1 Z_2 e^2}{E_{\alpha} \text{ initiale}}$$

$$e^2 \approx 1.44 \text{ eV} \cdot \text{nm}$$

$$Z_1 = 2 (\text{He})$$

$$Z_2 = 79 (\text{Au})$$

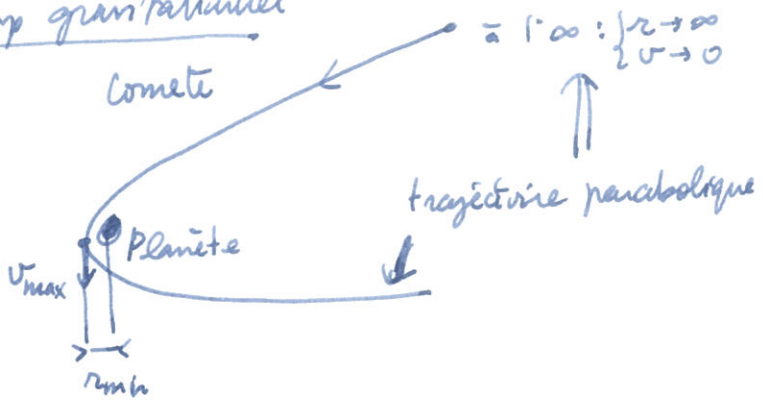
$$\Rightarrow r_{\text{min}} = \frac{2 \times 79 \times 1,44}{7 \times 10^6} \approx 33 \times 10^{-15} \text{ m}$$

$$\text{i.e. } r_{\text{min}} \approx 33 \text{ fm} \quad (1 \text{ fm} = 10^{-15} \text{ m})$$

//  $r_{\text{min}}$  on peut comparer à la "taille" du noyau

$$r_A \approx r_0 A^{1/3} \approx 1.25 \text{ fm} \xrightarrow[A=79]{} 5.4 \text{ fm}$$

### c. Champ gravitationnel



$$\vec{F} = -\frac{GMm}{r^2} \vec{u}_r \Rightarrow E_p = -\frac{GMm}{r}$$

$$E_m = \frac{1}{2} m \vec{v}^2 - \frac{GMm}{r}$$

Pour la trajectoire parabolique  $E_m = 0$

$$E_m = \underbrace{0 + 0}_{\text{à l'infini}} = \frac{1}{2} m v_{\max}^2 - \frac{GMm}{r_{\min}}$$

$$\downarrow$$

$$v_{\max} = \sqrt{\frac{2GM}{r_{\min}}}$$

### d. Moralité

Ces exemples illustrent que on peut obtenir des informations intéressantes sans rentrer dans les détails (i.e. déterminer la loi horaire)

## B. Systèmes non conservatifs

Dans de nombreuses situations intéressantes, le système met en jeu des forces conservatives et d'autres non (frottement, ...)

### 1. Déf: Énergie mécanique (dans le cas général)

Énergie potentielle:

$$\sum_{\vec{F} \text{ conservatifs}} W_{A \rightarrow B}(\vec{F}) = \underbrace{E_p(A)}_{\text{initial}} - \underbrace{E_p(B)}_{\text{final}}$$

Énergie cinétique:  $E_c = \frac{1}{2} m \vec{v}^2$

Énergie mécanique:  $E_m = E_c + E_p$

### 2. Théorème de l'énergie mécanique.

$$\begin{aligned} \text{Th. de l'}E_c : \underbrace{E_c(B)}_{\text{final}} - \underbrace{E_c(A)}_{\text{initial}} &= \sum_{\vec{F}} W_{A \rightarrow B}(\vec{F}) \\ &\quad \downarrow \text{au sépare la somme} \\ &= \underbrace{\sum_{\vec{F} \text{ conserv.}} W_{A \rightarrow B}(\vec{F})}_{E_p(A)} + \underbrace{\sum_{\vec{F} \text{ non conserv.}} W_{A \rightarrow B}(\vec{F})}_{E_p(B) - E_p(B)} \end{aligned}$$

Énoncé du théorème:

$$E_m(B) - E_m(A) = \sum_{\vec{F} \text{ non conservatifs}} W_{A \rightarrow B}(\vec{F})$$

écart à la conservation de l'énergie, on plutôt à sa enversion en d'autres formes (thermique, ...)

### 3. Remarques

- \* On a vu que le calcul du travail d'une force non conservatrice requiert en général les détails de la loi horaire.

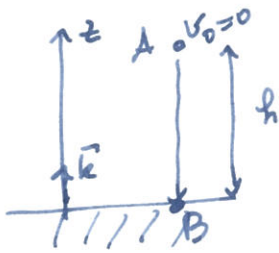
Dans ce cas, même si l'analyse des gains et pertes d'énergie est intéressante, l'approche ne permet pas de donner des informations aussi précises que dans le cas des systèmes conservatifs (j'intends : de manière aussi «économique»)

- \* Si on considère un système comportant, constitué de plusieurs points matériels, ~~l'énergie totale~~ on doit prendre en compte ceux-ci dans  $E_m$ :

$$E_m = \sum_i \frac{1}{2} m_i \vec{v}_i^2 + \underbrace{\sum_i E_p(\vec{r}_i)}_{\substack{\text{Somme sur tous} \\ \text{les points matériels}}} + \frac{1}{2} \sum_{(i,j)} E_p^{int}(\vec{r}_i - \vec{r}_j)$$

énergie potentiel de chaque point matériel      interaction

#### 4. Exemple : chute d'un objet en présence de frottement visqueux



Bilan:  $\vec{P} = -mg\vec{k}$   
 $\vec{F}_f = -\lambda\vec{v}$  où  $\lambda \stackrel{\text{def}}{=} \frac{m}{\tau}$

$$E_m = \frac{1}{2}m\vec{v}^2 + mgz$$

$$E_m(B) - E_m(A) = \underbrace{\frac{1}{2}mV_B^2}_{\rightarrow} - mgh = \frac{W_{A \rightarrow B}(\vec{F}_f)}{\downarrow}$$

dépend de la loi horaire et pas seulement de  $V_B$  ou  $z_B$  et  $\tau$ .

#### Hypothèse supplémentaire :

on anticipe l'existence d'une vitesse limite et alors supposons que  $V_e(t) \approx -V_e \frac{t}{\tau}$  (on a choisi  $V_e > 0$ ) i.e. nous supposons que le régime permanent est atteint très vite :  $t_{\text{chute}} \gg \tau$

$$\vec{v} \approx \vec{v}_e \Rightarrow \vec{F}_f \approx \vec{v}_e \Rightarrow \text{cela rend possible le calcul du } W_{A \rightarrow B}(\vec{F}_f) \approx -\lambda V_e \times h = -\frac{mV_e h}{\tau}$$

travail résistant

$$\text{th. de l'}E_m \Rightarrow \frac{1}{2}mV_e^2 - mgh \approx -\frac{mV_e h}{\tau}$$

$$\text{i.e. } V_e^2 + \frac{2h}{\tau} V_e - 2gh \approx 0$$

$$\text{d'où } V_e \approx \sqrt{\left(\frac{h}{\tau}\right)^2 + 2gh} - \frac{h}{\tau} = \frac{h}{\tau} \sqrt{1 + \frac{2g\tau^2}{h}} - \frac{h}{\tau}$$

l'hyp. est  $t_{\text{chute}} \gg \tau$  i.e.  $h \gg (?) \leftarrow \frac{g\tau^2}{h}$

$\Rightarrow$  on doit développer l'expression trouvée pour être cohérent

échelle de long. caract. des ph.

$$V_e \approx \frac{h}{\tau} \times \left(1 + \frac{g\tau^2}{h} + \dots\right) - \frac{h}{\tau} \Rightarrow V_e \approx \frac{g\tau}{\tau} \text{ ok.}$$

Puissance dissipée par le frottement:

$$P_{\text{frott}} = -\vec{F}_f \cdot \vec{v} = -\frac{m}{\tau} \vec{v}^2 \approx -\frac{m(g\tau)^2}{\tau} \text{ dès que } V_e \text{ est atteinte}$$

$$P_{\text{frott}} \approx -mg^2\tau = -\frac{(mg)^2}{\lambda}$$

contre-intuitif! si  $\lambda \rightarrow \infty \Rightarrow P_{\text{frott}} \rightarrow 0$  (car  $V_e \rightarrow 0$ )

c'est vrai en régime permanent, mais le temps mis à atteindre

le régime permanent augmente!

A  $V_0$  et  $h$  fixé  $W_{A \rightarrow B}(\vec{F}_f)$

## VII. Équilibre et stabilité

L'introduction de la notion d'énergie nous fournit le "bon langage" pour analyser les problèmes de stabilité des équilibres.

### A. Systèmes conservatifs:

considérons un système conservatif

$$\begin{cases} E_C = \frac{1}{2} m v_x^2 \\ E_P(x) \end{cases} \quad \text{situation } \underline{\text{unidimensionnelle}}$$

#### 1. Condition d'équilibre

$$\exists x_{eq} \text{ t.q. } \begin{cases} x = x_{eq} \text{ soit solution du P.F.D (Vt)} \\ v_x = 0 \end{cases}$$

$$v_x = 0 \Rightarrow \sum \vec{F} = \vec{0} \quad F_x(x_{eq}) = 0 \Rightarrow \boxed{E'_P(x_{eq}) = 0}$$

Un point matériel est à l'équilibre si  $\sum \vec{F} = \vec{0}$ , ce qui correspond à un où  $E'_P(x) = 0$

#### 2. Stabilité

Q: Que se passe-t-il si on s'éloigne = "légèrement" de la position d'équilibre?

supposons  $x = x_{eq} + \Delta x$  avec  $\Delta x \rightarrow 0$

a. Déf:

équilibre stable.

Si les forces tendent à ramener le point matériel vers  $x_{\text{eq}}$

équilibre instable.

à l'inverse, si les forces tendent à l'éloigner de  $x_{\text{eq}}$

Nous allons "traduire" la condition de stabilité sur  $E_p$ .

Équilibre stable:

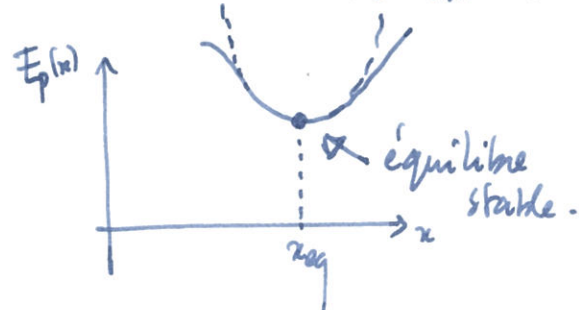
$$x = x_{\text{eq}} + \Delta x$$

si  $\Delta x > 0 \Rightarrow F_x(x) < 0$  i.e.  $E_p'(x) > 0$  pour  $x > x_{\text{eq}}$

l'énergie croît dans le sens  $x \uparrow$  à partir de  $x_{\text{eq}}$

si  $\Delta x < 0 \Rightarrow F_x(x) > 0$

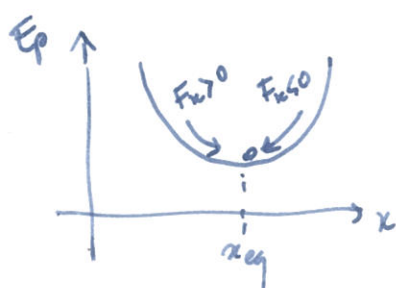
i.e.  $E_p'(x) < 0$  pour  $x < x_{\text{eq}}$



l'énergie croît en allant vers les  $x < x_{\text{eq}}$ , i.e.  $E_p$  est une fonction décroissante.

En général (si  $E_p''(x_{\text{eq}}) \neq 0$ )

on aura



$$E_p(x) \underset{x \approx x_{\text{eq}}}{\approx} E_p(x_{\text{eq}}) + \underbrace{\frac{1}{2} E_p''(x_{\text{eq}}) \cdot (x - x_{\text{eq}})^2}_{\text{énergie d'oscillation harmonique}}$$

énergie d'oscillation harmonique

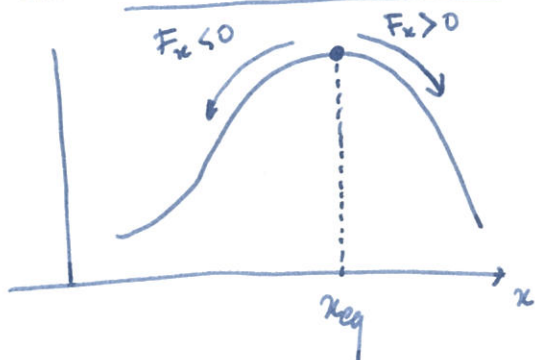
Rg: en l'absence de dissipation (frottement), un écart induit des oscillations autour de  $x_{\text{eq}}$ .

Une position d'équilibre stable correspond à un minimum local de  $E_p$

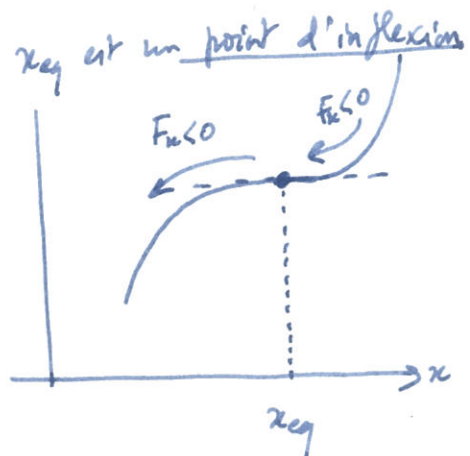
Équilibre instable si  $x_{eq}$  (où  $E_p'(x_{eq}) = 0$ ) n'est pas un minimum de  $E_p(x)$  ⇒ l'équilibre est instable.

Deux cas :

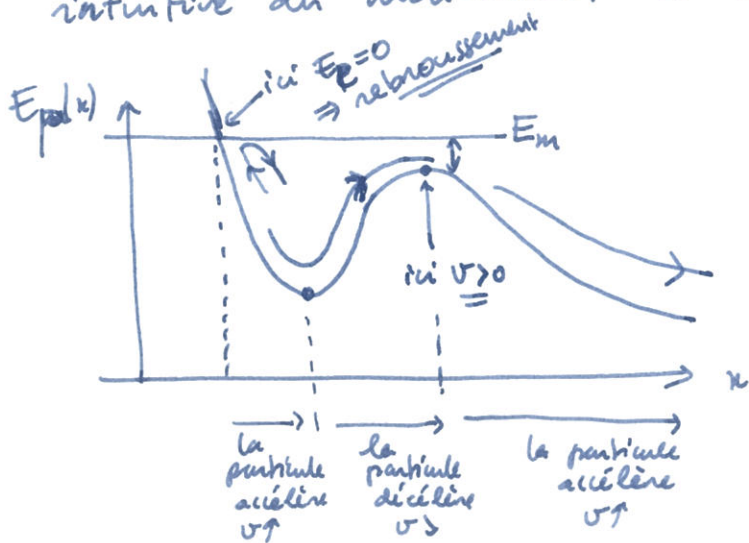
$x_{eq}$  est un maximum de  $E_p(x)$



Donc



3. Conclusion : cette discussion donne une image très intuitive du mouvement si l'on connaît  $E_p(x)$ .



$$E_m = \underbrace{E_c}_{>0} + E_p(x)$$

## B. Systèmes non conservatifs

1. Présence de frottement fluide:  $\vec{F}_f = 0$  si  $\vec{v} = 0 \Rightarrow$  rien ne change dans la discussion précédente, sinon que le frottement induit l'amortissement des oscillations, lorsqu'on s'écarte de l'équilibre.

## 2. Frottement solide.

le frottement solide peut stabiliser des situations qui ne sont pas des équilibres.

ex:

